

# L'exploration de l'univers: quels sens ?

Vincent Minier

Astrophysicien au CEA Saclay

Chercheur associé au Centre François Viète, Université de Nantes

Contact et site Internet

<http://www.vincentminier.fr>

[vincent.minier@cea.fr](mailto:vincent.minier@cea.fr)



# Séance #4: les défis à venir et les futurs moyens d'observation

1. L'énergie noire, la matière sombre/noire et Euclid
2. Le Soleil et Solar Orbiter
3. Les futurs observatoires au sol
  - ALMA
  - ELT
  - SKA

# Séance #4: les défis à venir et les futurs moyens d'observation

1. L'énergie noire, la matière sombre/noire et Euclid
2. Le Soleil et Solar Orbiter
3. Les futurs observatoires au sol
  - ALMA
  - ELT
  - SKA



**4%**

MATIÈRE BARYONIQUE  
(ÉTOILES, GALAXIES,  
AMAS DE GALAXIES)

**21%**

MATIÈRE NOIRE

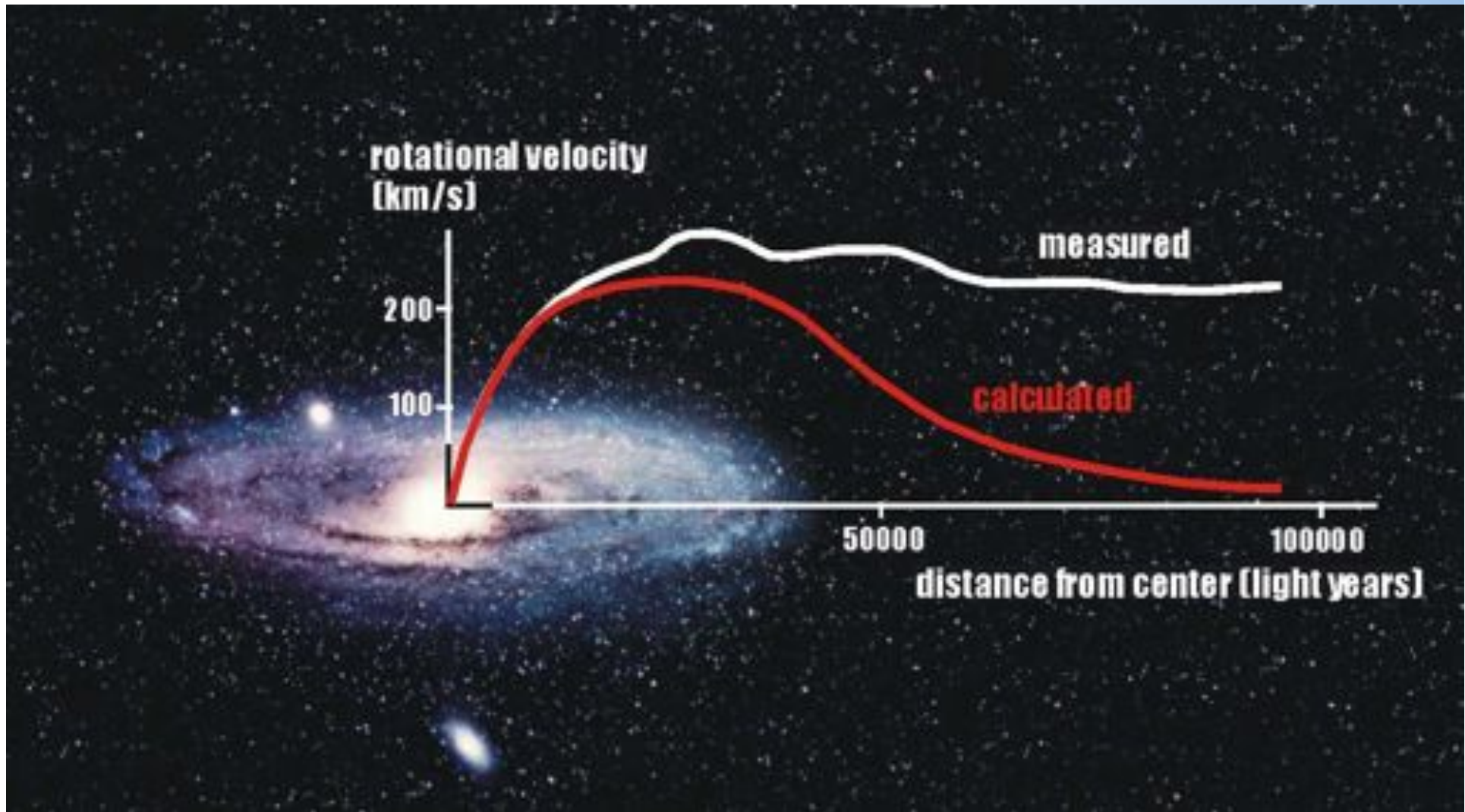
**75%**

ENERGIE SOMBRE

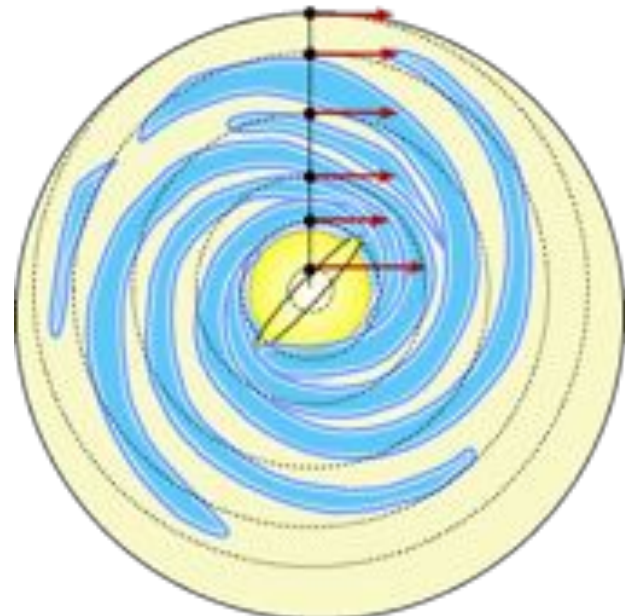
# Ce que mesure un télescope...

- Un flux de photons ayant une énergie  $E=hv$ , où  $v$  est la fréquence de l'onde électromagnétique.
- Un flux, c'est une quantité d'énergie détectée par seconde dans un angle solide donné, interceptée par surface (celle du miroir du télescope) à une fréquence.
- Unité:  $\text{W}/\text{Hz}/\text{m}^2$  ou Jansky ( $\text{Jy})=10^{-26} \text{ W}/\text{Hz}/\text{m}^2$
- Le flux diminue avec la distance au carré.
- La sensibilité du télescope augmente avec le diamètre du miroir au carré.
- La résolution du télescope augment avec son diamètre.
- Une source lumineuse de 100 Jy, placée 10 fois plus loin, aura un flux de 1 Jy.
- Si un télescope a une sensibilité lui permettant de détecter un flux de 100 Jy, un télescope 10 fois plus grand pourra détecter un flux de 1 Jy.
- La sensibilité peut également être améliorée avec des détecteurs plus performants.
- Important pour détecter des galaxies à grandes distances, vieilles de plus de 10 milliards d'années.

# Matière noire ou sombre (dark matter): un fait observé – la courbe de rotation galactique

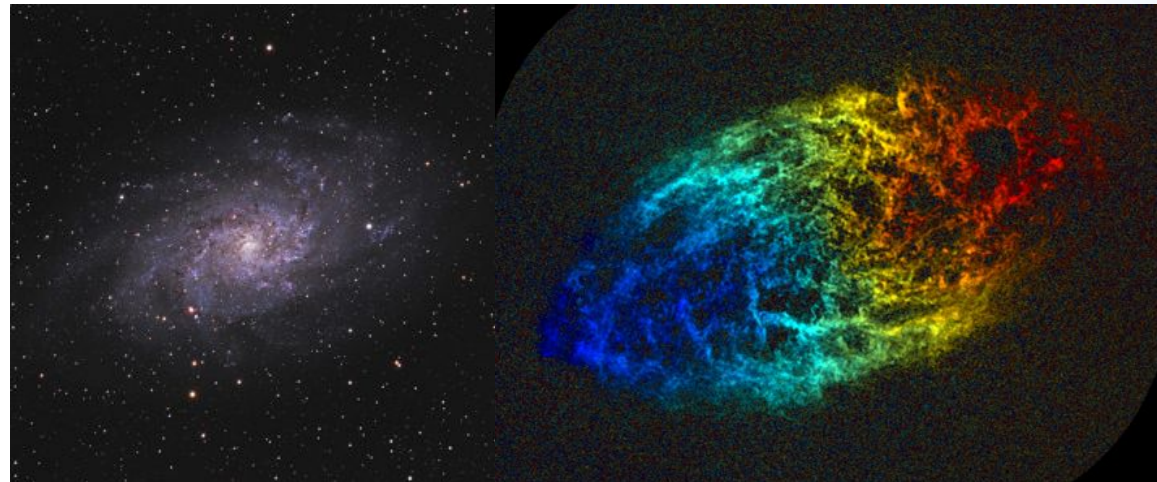


# Matière noire ou sombre (dark matter): un fait observé – la courbe de rotation galactique



The mass inside an orbit can be found using the size of the orbit and the orbital speed. The arrows show the speeds for certain points on the **rotation curve** for this galaxy.

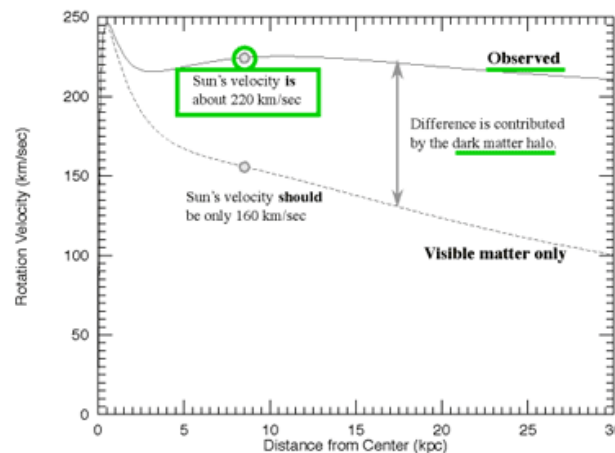
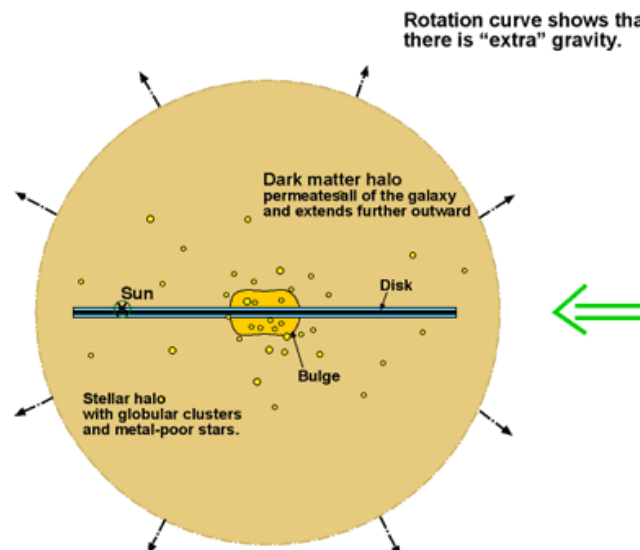
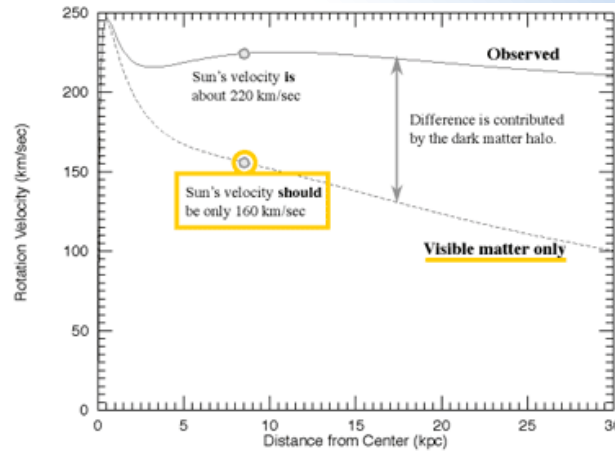
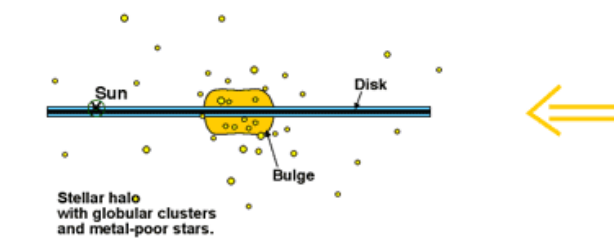
- La gravité accélère les étoiles.
- La gravité est due à la masse incluse à l'intérieur de l'orbite de l'étoile.  $M=r \times v^2/G$  (basé sur Newton).
- La masse est celle de l'ensemble de la matière et des astres = étoiles, gaz atomique et moléculaire.



<http://www.astronomynotes.com/ismnotes/s7.htm>

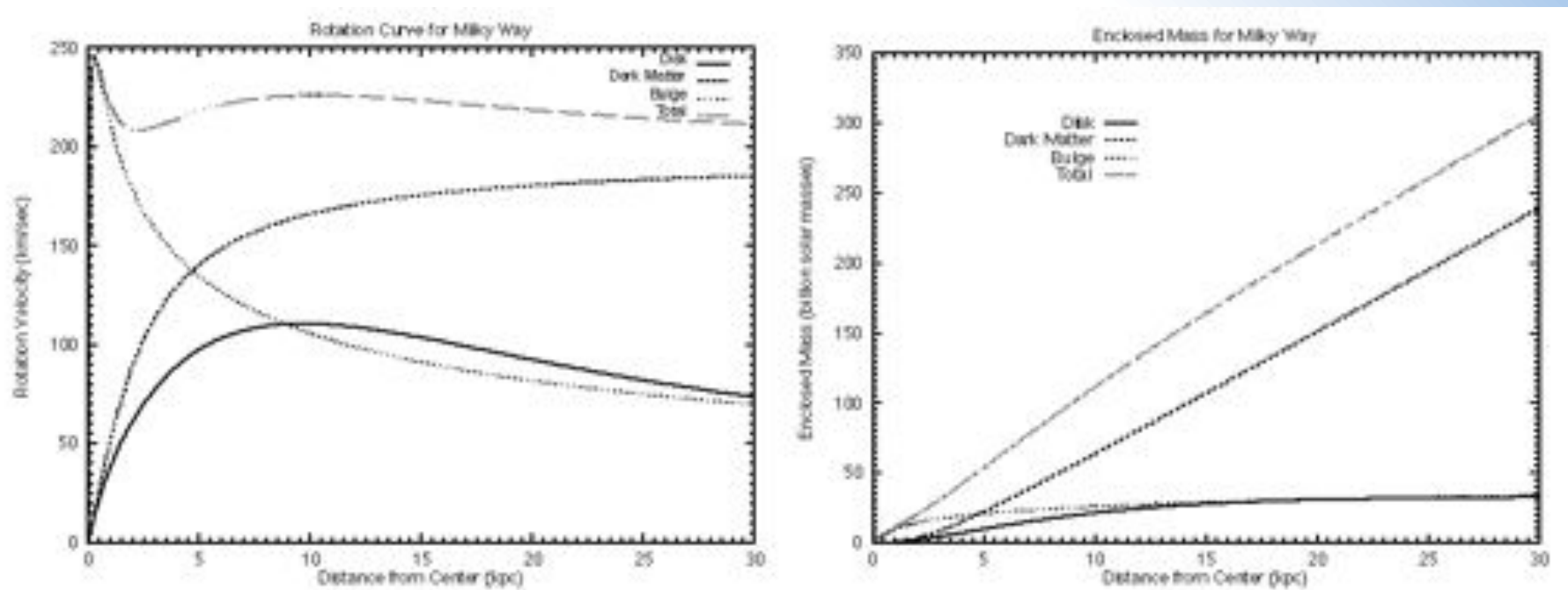
M33 dans le visible      et vu à travers l'hydrogène (H).  
Les couleurs sont proportionnelles à la vitesse.

# Matière noire ou sombre (dark matter): un fait observé – la courbe de rotation galactique



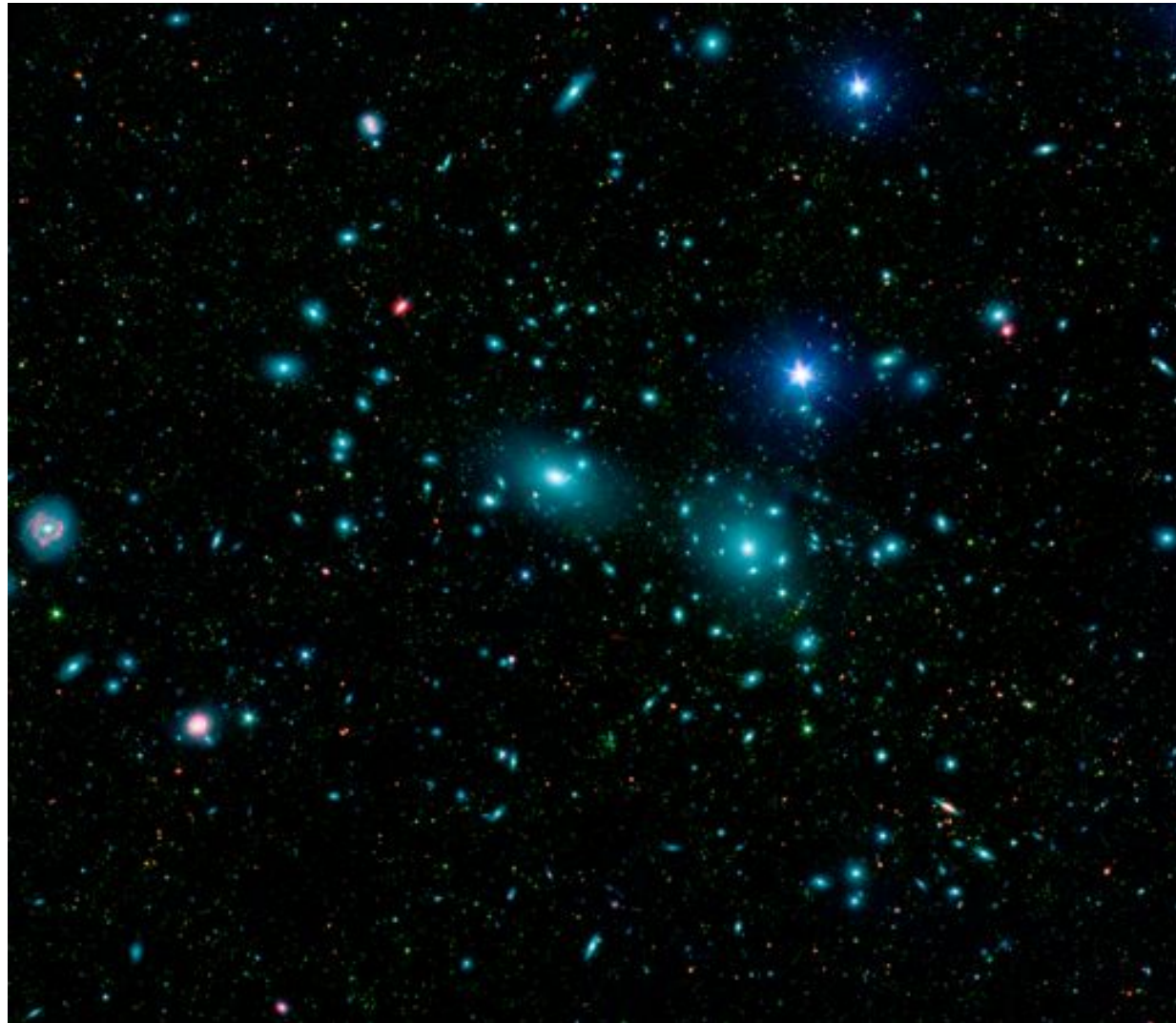
The gravity of the visible matter in the Galaxy is not enough to explain the high orbital speeds of stars in the Galaxy. For example, the Sun is moving about 60 km/sec too fast. The part of the rotation curve contributed by the visible matter only is the bottom curve. The discrepancy between the two curves is evidence for a **dark matter halo**.

# Matière noire ou sombre (dark matter): un fait observé – la courbe de rotation galactique



Extra masse à partir de  $\sim 5$  kpc du centre de la Galaxie. Mais cette masse supplémentaire n'est pas associée à de la matière détectable à travers son rayonnement (gaz, étoiles ...).

# Matière noire ou sombre (dark matter): fait observé – vitesse des galaxies en amas



Amas de galaxie Coma

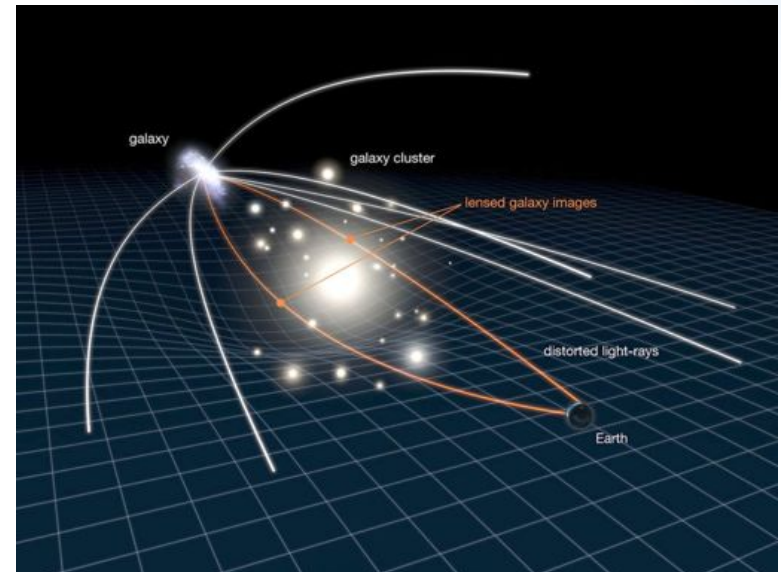
- 99 Mpc
- plus de 1000 galaxies
- 1933, Fritz Zwicky observe que les vitesses des galaxies ne s'expliquent pas uniquement par leur masse (via la gravité).
- Présence d'un halo de matière noire: 90% de la masse.



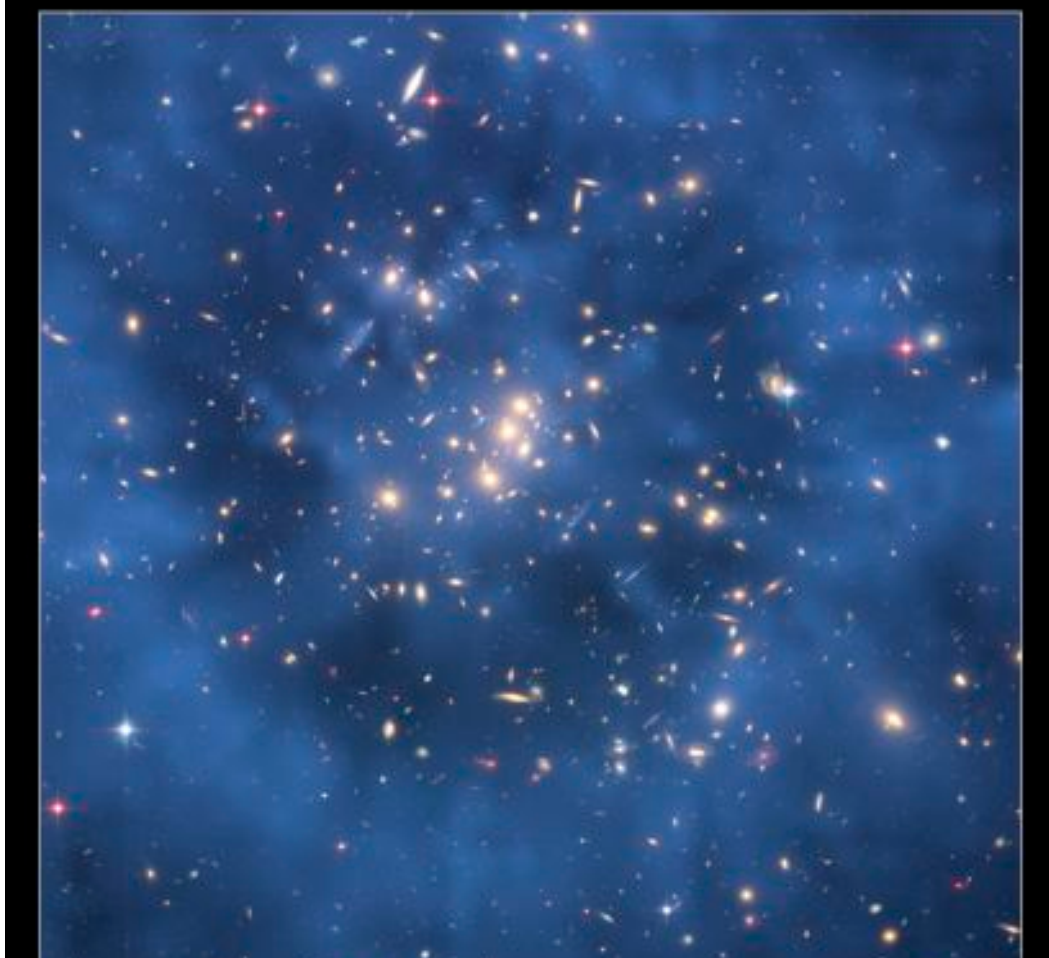
# Matière noire ou sombre (dark matter): fait observé – lentille gravitationnelle



Objet: MACS J1206.2-0847 Object  
R.A. 12h 06m 11s.98  
Dec. -08° 48' 0".04  
Constellation: La Vierge  
Distance: 4,5 milliards d'années-lumière (1,2 milliards parsecs)



# Matière noire ou sombre (dark matter): fait observé – lentille gravitationnelle

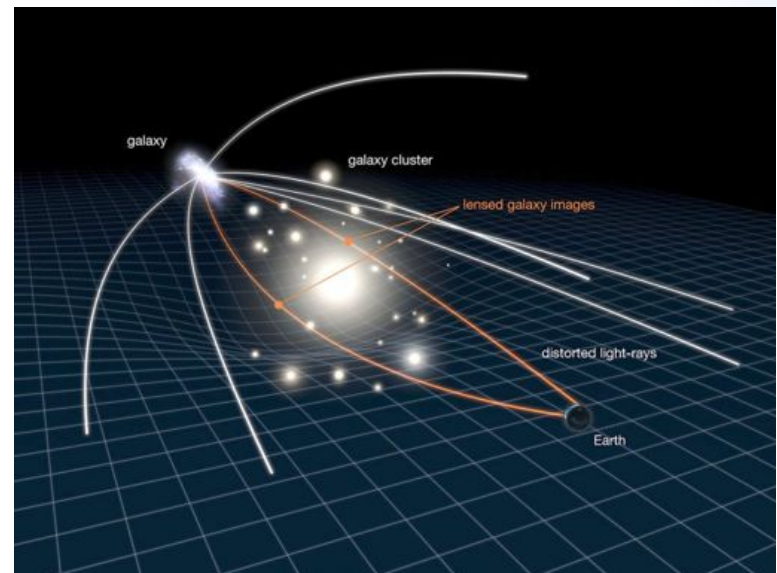


Dark Matter Ring in Galaxy Cluster Cl 0024+17 (ZwCl 0024+1652)  
Hubble Space Telescope • ACS/WFC

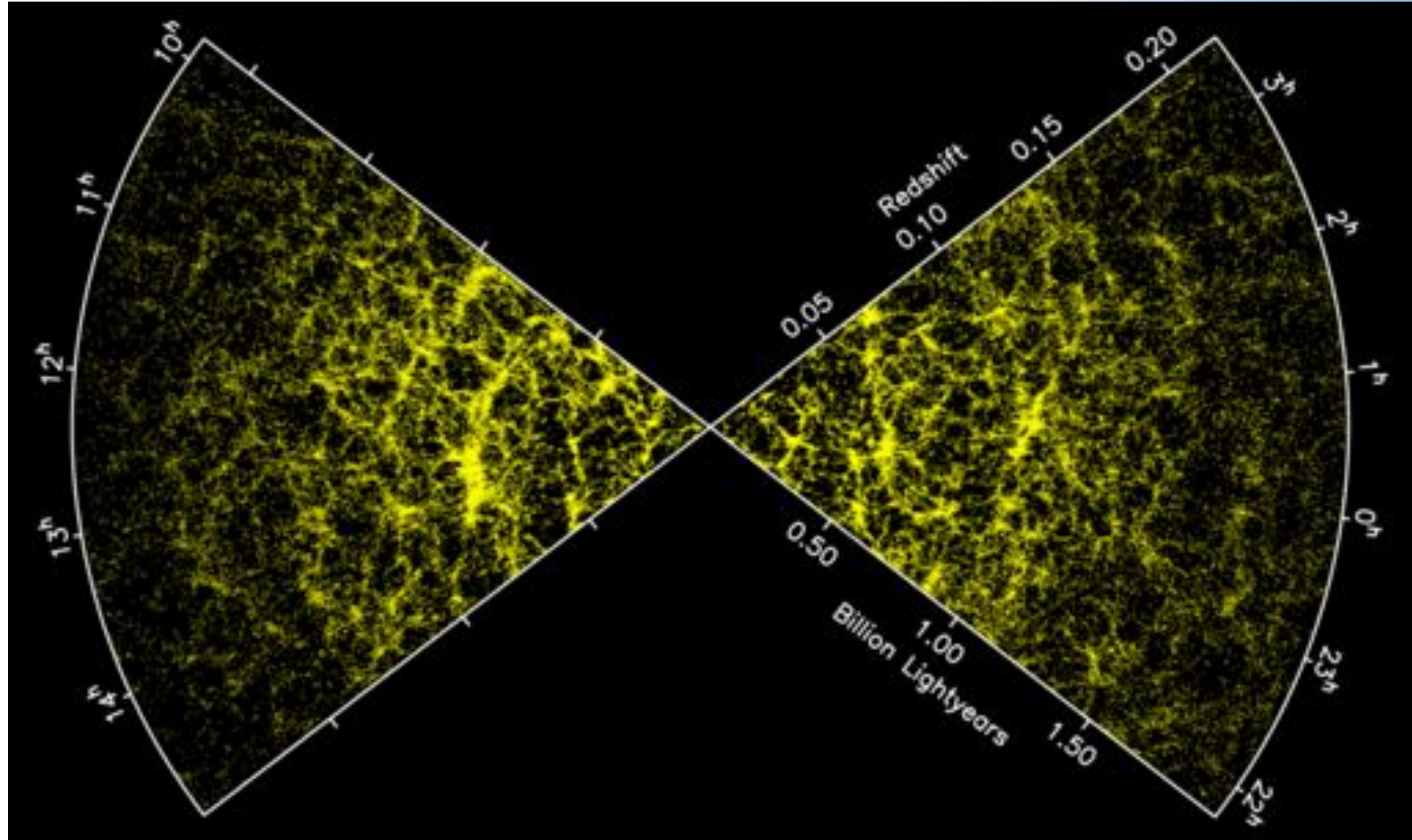
NASA, ESA, and M.J. Jee (Johns Hopkins University)

STScI-PRC07-17a

Objet: MACS J1206.2-0847 Object  
R.A. 12h 06m 11s.98  
Dec. -08° 48' 0".04  
Constellation: La Vierge  
Distance: 4,5 milliards d'années-lumière (1,2 milliards parsecs)

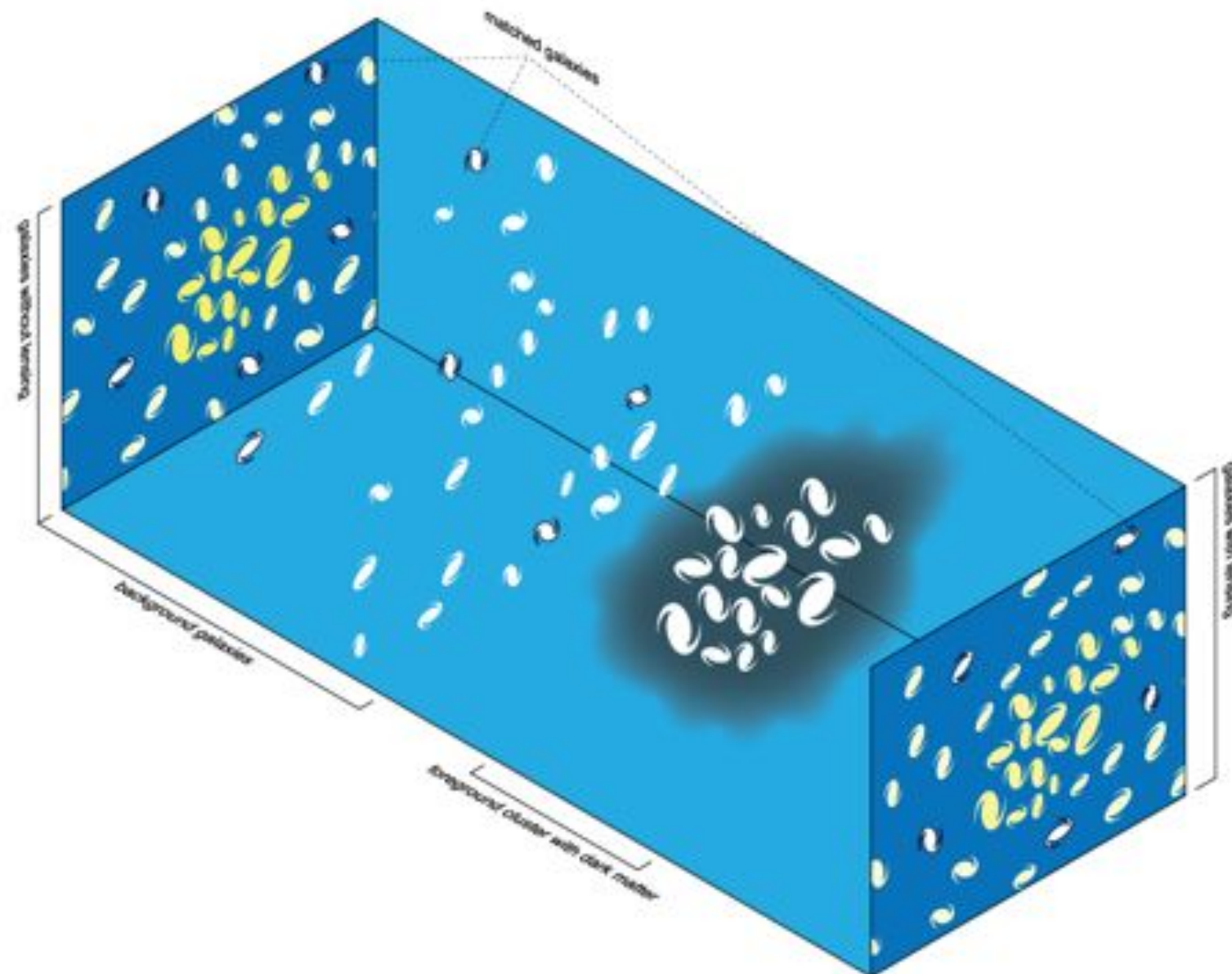


# Cartographier la matière noire: utiliser des millions de galaxies et leur image déformée

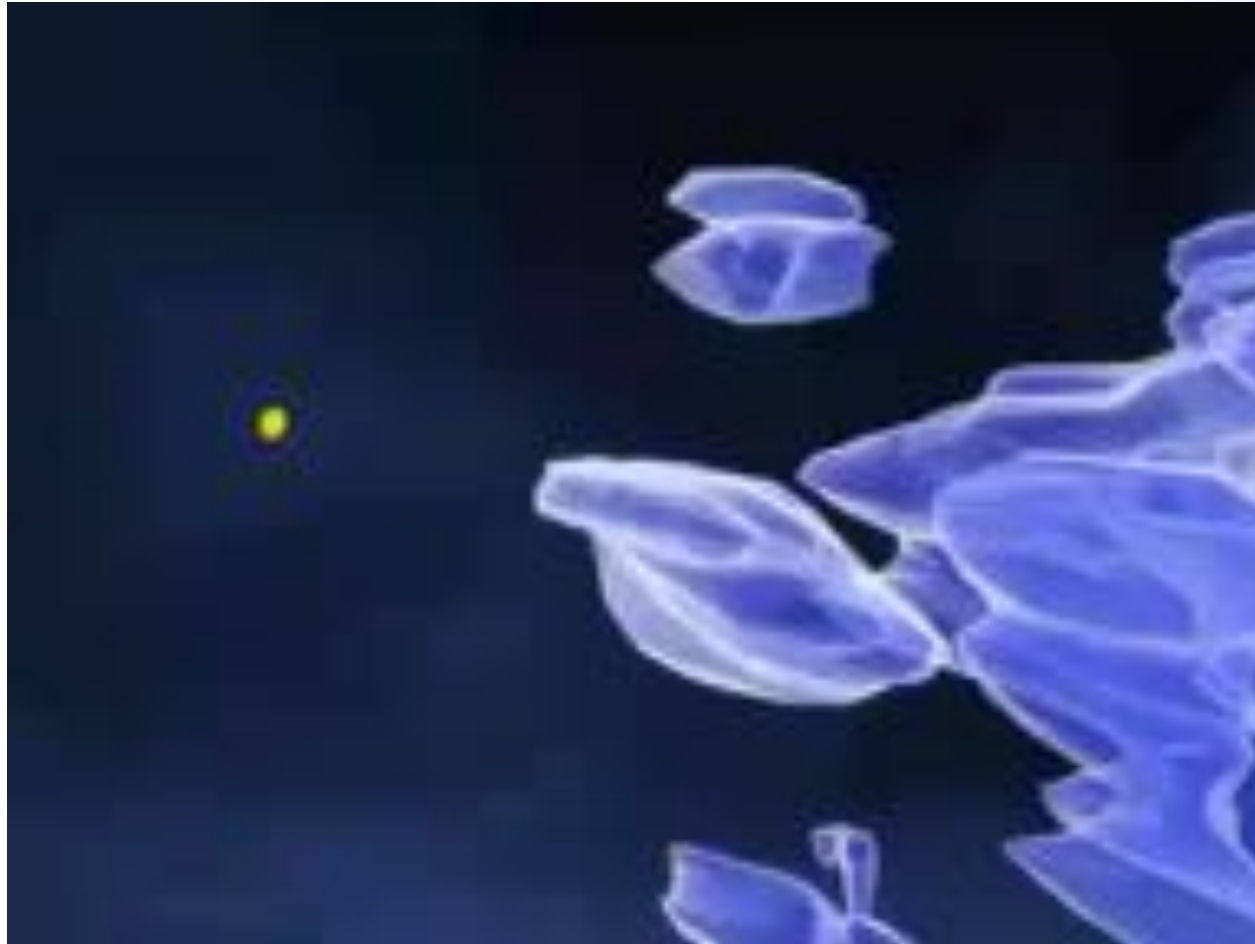


2dF survey: 220 000 galaxies jusqu'à redshift=3. <http://msowww.anu.edu.au/2dFGRS/>

# Cartographier la matière noire par cisaillement gravitationnel



# Cartographier la matière noire par cisaillement gravitationnel



Recomposition de la distribution de la matière noire entre il y a 3,5 et 6,5 milliards d'années.

Les observations furent réalisées par le programme COSMOS avec le télescope spatial Hubble.

# Plusieurs types de matière noire

Matière baryonique (particules composées de quarks comme le proton ou le neutron) ou non baryonique ?

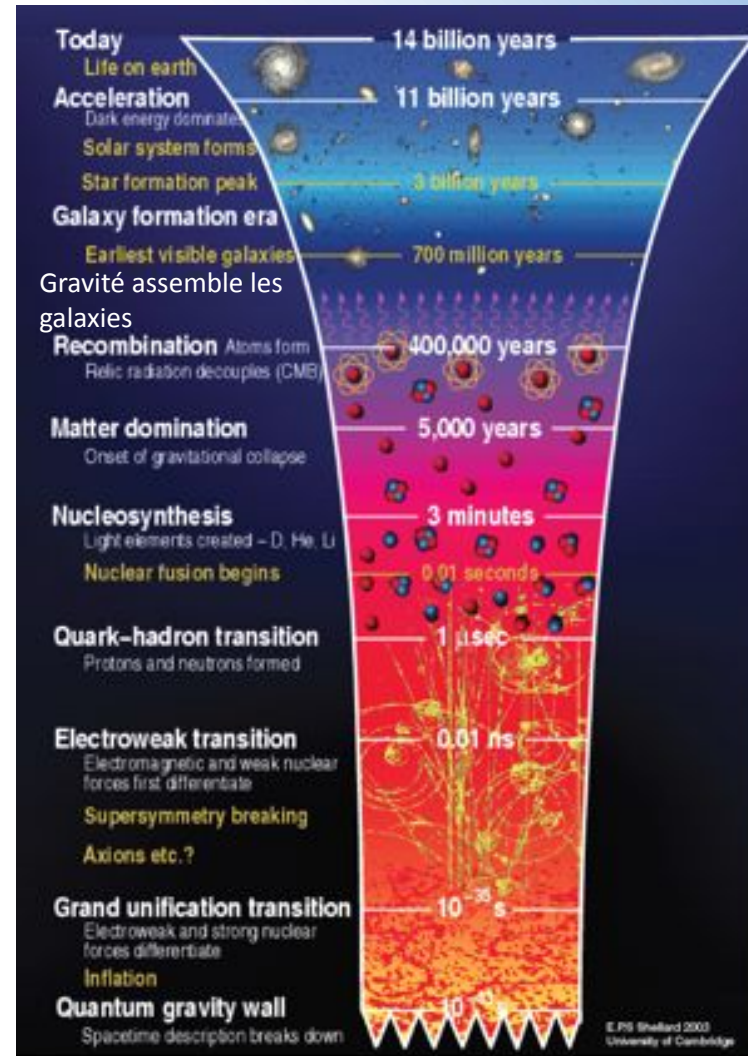
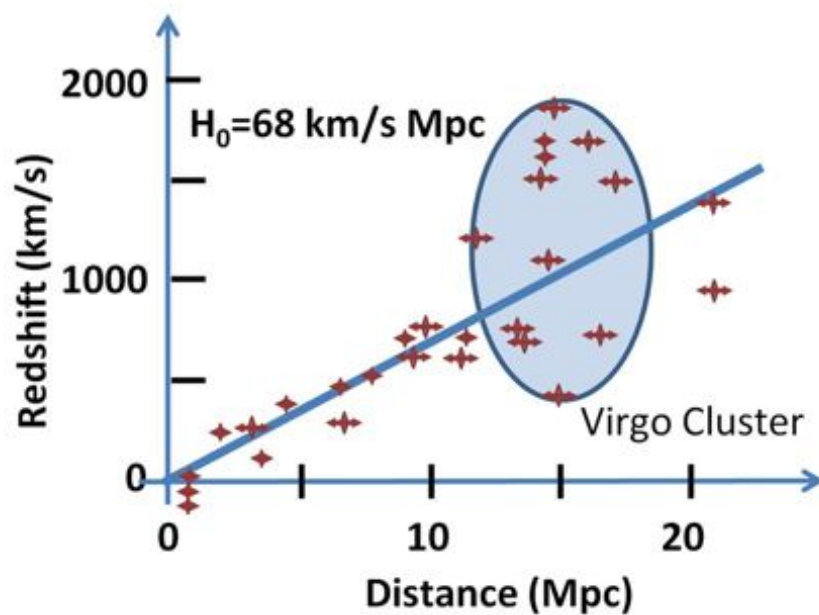
- Astres de faible intensité comme les naines brunes ?
- Antimatière ? Mais pas de rayonnement gamma intense où matière baryonique et matière noir pourrait interagir (annihilation matière – antimatière non observée).
- Trous noirs de la taille d'une galaxie ? Dans ce cas, forts effets de lentille gravitationnelle attendus et fréquents, mais non observés à ce jour.
- Population importante d'étoiles à neutron, isolées et peu visibles ?
- Solution actuelle vers une matière non baryonique comme les WIMPS (weakly interactive massive particles) ? Neutrino, axion, neutralino ?

Ou

Faut-il tout simplement modifier la théorie de la Gravité (Relativité Générale) ? Ex: MOND theory ?

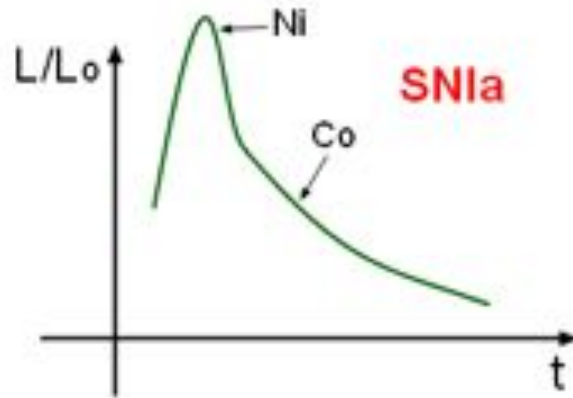
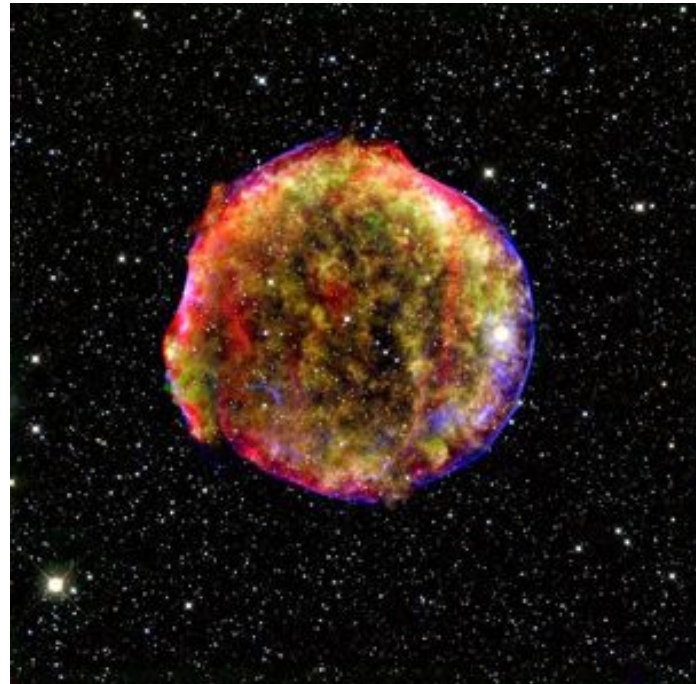
# Energie noire – expansion de l'univers

La théorie Big bang: une rétro-chronologie sur 13,7 milliards d'années. Un des piliers du Big Bang: l'expansion de l'univers (E. Hubble, 1929). Besoin de « chandelles » standards (Cepheides, Supernovae Ia ....).



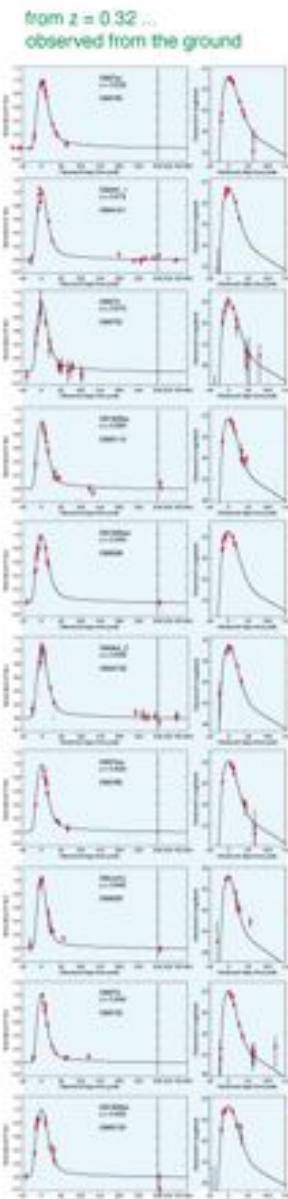
Aujourd'hui  $H_0=72 \text{ (km/s)/Mpc} = 2,4 \times 10^{-18} \text{ s}^{-1}$ ;  $v=H_0 \times D$ ;  $1/H_0=13,7 \text{ milliards d'années}$ ; masse volumique de la matière dans l'univers:  $9 \times 10^{-27} \text{ kg/m}^3$  soit 5 atomes par  $\text{m}^3$ .

# Energie noire – supernovae de type Ia



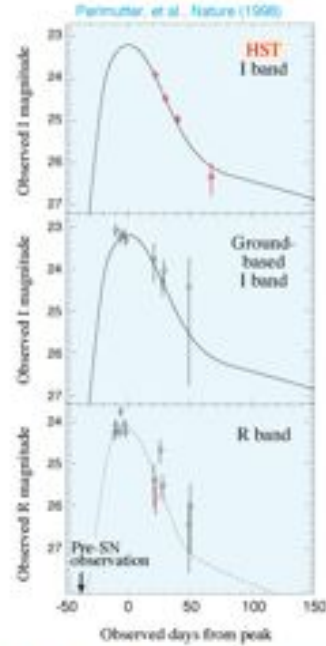
Supernovae Ia = chandelle cosmologique. Explosion d'une étoile « naine blanche » après avoir accréter la masse d'une étoile compagnon plus lors de sa transformation en géante rouge. Explosion identique quelque soit la galaxie. Le spectre de lumière a toujours la même forme avec le temps. La distance décale ce spectre en longueur d'onde. La luminosité émise peut être égale à 4 milliards de fois celle du Soleil.

# Type Ia Supernovae

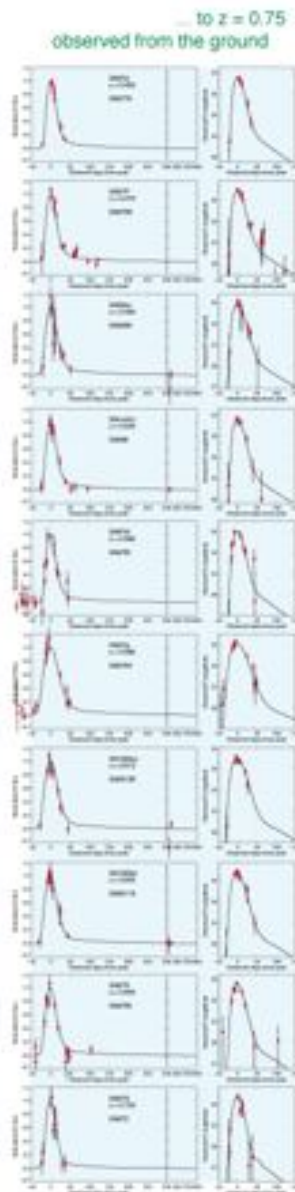


## Light Curves

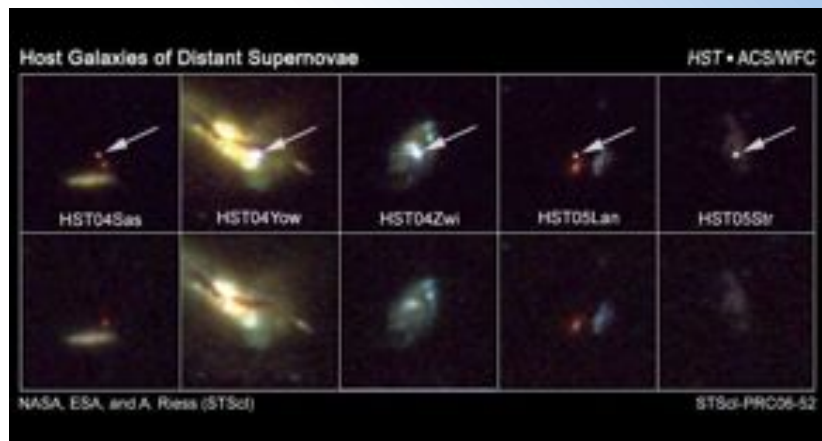
SN 1997ap at  $z = 0.83$   
observed from the  
ground and with the HST



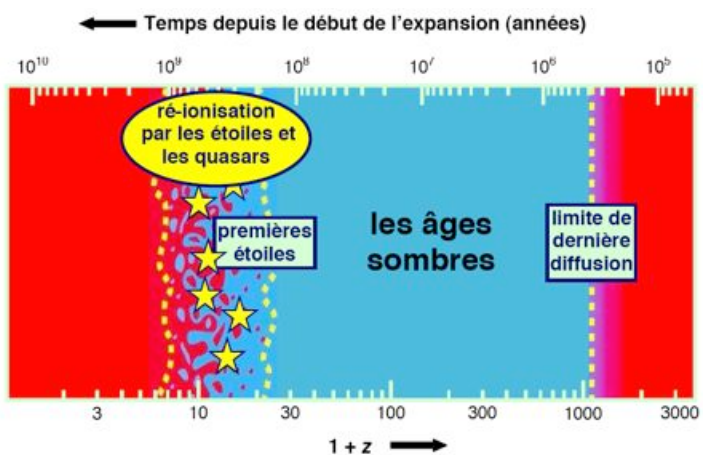
We observe most of the supernovae for approximately two months in both the R and I bands (corresponding approximately to the methane B and V bands for the median redshift). At high redshifts, a significant fraction of this host galaxy light is within the seeing disk of the supernova, so final observations about one year later are usually necessary to observe (and subtract) the host galaxy light after the supernova has faded. The plots to the left and the right show just the R-band light curves for about half of the 40 supernovae that have been completely observed and analyzed so far. The plots above show the highest redshift, spectroscopically confirmed supernova, which was observed with the Hubble Space Telescope.



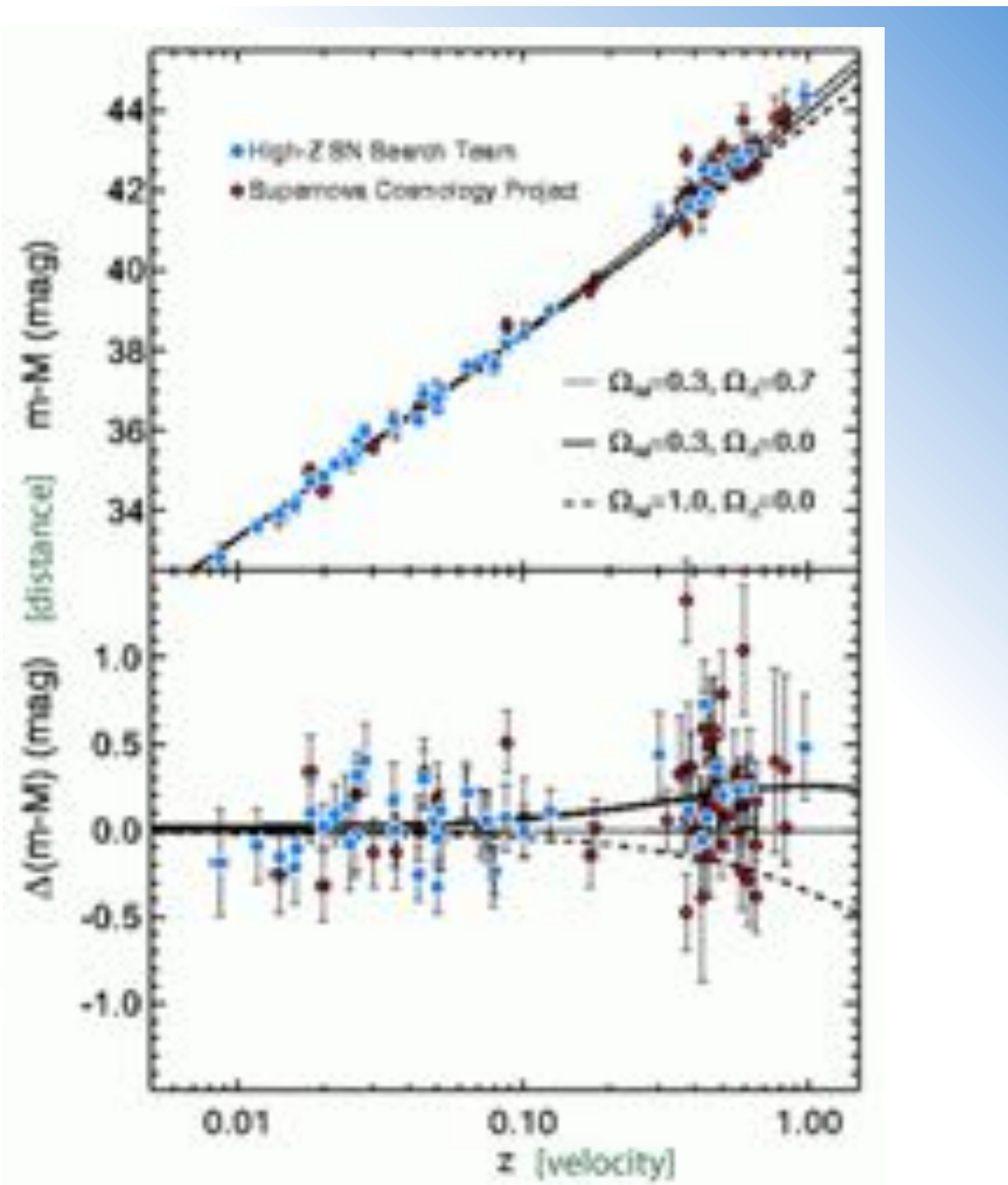
Différente courbe de lumière  
de supernovae à différentes  
distances.



# Découvertes de SuperNovae la moins brillantes que prévues



$z$  = redshift = décalage spectral vers le rouge.



## Ni Nature, ni Science

### THE HIGH-Z SUPERNOVA SEARCH: MEASURING COSMIC DECELERATION AND GLOBAL CURVATURE OF THE UNIVERSE USING TYPE Ia SUPERNOVAE<sup>1</sup>

BRIAN P. SCHMIDT,<sup>2</sup> NICHOLAS B. SUNTCZEFF,<sup>3</sup> M. M. PHILLIPS,<sup>3</sup> ROBERT A. SCHOMMER,<sup>3</sup> ALEJANDRO CLOCCHIATTI,<sup>3,4</sup> ROBERT P. KIRSHNER,<sup>5</sup> PETER GARNAVICH,<sup>5</sup> PETER CHALLIS,<sup>5</sup> B. LEIBUNDGUT,<sup>6</sup> J. SPYROMILIO,<sup>6</sup> ADAM G. RIESS,<sup>5,7</sup> ALEXEI V. FILIPPENKO,<sup>7</sup> MARIO HAMUY,<sup>8</sup> R. CHRIS SMITH,<sup>4,9</sup> CRAIG HOGAN,<sup>10</sup> CHRISTOPHER STUBBS,<sup>10</sup> ALAN DIERCKS,<sup>10</sup> DAVID REISS,<sup>10</sup> RON GILLILAND,<sup>11</sup> JOHN TONRY,<sup>12</sup> JOSÉ MAZA,<sup>13</sup> A. DRESSLER,<sup>14</sup> J. WALSH,<sup>6</sup> AND R. CIARDULLO<sup>15</sup>

Received 1997 December 30; accepted 1998 June 10

#### ABSTRACT

The High-Z Supernova Search is an international collaboration to discover and monitor Type Ia supernovae (SNe Ia) at  $z > 0.2$  with the aim of measuring cosmic deceleration and global curvature. Our collaboration has pursued a basic understanding of supernovae in the nearby universe, discovering and observing a large sample of objects and developing methods to measure accurate distances with SNe Ia. This paper describes the extension of this program to  $z \geq 0.2$ , outlining our search techniques and follow-up program. We have devised high-throughput filters that provide accurate two-color rest frame  $B$  and  $V$  light curves of SNe Ia, enabling us to produce precise, extinction-corrected luminosity distances in the range  $0.25 < z < 0.55$ . Sources of systematic error from  $K$ -corrections, extinction, selection effects, and evolution are investigated, and their effects estimated. We present photometric and spectral observations of SN 1995K, our program's first supernova (SN), and use the data to obtain a precise measurement of the luminosity distance to the  $z = 0.479$  host galaxy. This object, when combined with a nearby sample of SNe, yields an estimate for the matter density of the universe of  $\Omega_M = -0.2^{+1.0}_{-0.8}$  if  $\Omega_\Lambda = 0$ . For a spatially flat universe composed of normal matter and a cosmological constant, we find  $\Omega_M = 0.4^{+0.5}_{-0.4}$ ,  $\Omega_\Lambda = 0.6^{+0.4}_{-0.5}$ . We demonstrate that with a sample of  $\sim 30$  objects, we should be able to determine relative luminosity distances over the range  $0 < z < 0.5$  with sufficient precision to measure  $\Omega_M$  with an uncertainty of  $\pm 0.2$ .

*Subject headings:* cosmology: observations — galaxies: distances and redshifts — supernovae: general — supernovae: individual (SN 1995K)

## OBSERVATIONAL EVIDENCE FROM SUPERNOVAE FOR AN ACCELERATING UNIVERSE AND A COSMOLOGICAL CONSTANT

ADAM G. RIESS,<sup>1</sup> ALEXEI V. FILIPPENKO,<sup>1</sup> PETER CHALLIS,<sup>2</sup> ALEJANDRO CLOCCHIATTI,<sup>3</sup> ALAN DIERCKS,<sup>4</sup>  
PETER M. GARNAVICHE,<sup>2</sup> RON L. GILLILAND,<sup>5</sup> CRAIG J. HOGAN,<sup>4</sup> SAURABH JHA,<sup>2</sup> ROBERT P. KIRSHNER,<sup>2</sup>  
B. LEIBUNDGUT,<sup>6</sup> M. M. PHILLIPS,<sup>7</sup> DAVID RIESS,<sup>4</sup> BRIAN P. SCHMIDT,<sup>8,9</sup> ROBERT A. SCHOMMER,<sup>7</sup>  
R. CHRIS SMITH,<sup>7,10</sup> J. SPYROMILIO,<sup>6</sup> CHRISTOPHER STUBBS,<sup>4</sup>  
NICHOLAS B. SUNTCZEFF,<sup>7</sup> AND JOHN TONRY<sup>11</sup>

Received 1998 March 13; revised 1998 May 6

### ABSTRACT

We present spectral and photometric observations of 10 Type Ia supernovae (SNe Ia) in the redshift range  $0.16 \leq z \leq 0.62$ . The luminosity distances of these objects are determined by methods that employ relations between SN Ia luminosity and light curve shape. Combined with previous data from our High- $z$  Supernova Search Team and recent results by Riess et al., this expanded set of 16 high-redshift supernovae and a set of 34 nearby supernovae are used to place constraints on the following cosmological parameters: the Hubble constant ( $H_0$ ), the mass density ( $\Omega_M$ ), the cosmological constant (i.e., the vacuum energy density,  $\Omega_\Lambda$ ), the deceleration parameter ( $q_0$ ), and the dynamical age of the universe ( $t_0$ ). The distances of the high-redshift SNe Ia are, on average, 10%–15% farther than expected in a low mass density ( $\Omega_M = 0.2$ ) universe without a cosmological constant. Different light curve fitting methods, SN Ia subsamples, and prior constraints unanimously favor eternally expanding models with positive cosmological constant (i.e.,  $\Omega_\Lambda > 0$ ) and a current acceleration of the expansion (i.e.,  $q_0 < 0$ ). With no prior constraint on mass density other than  $\Omega_M \geq 0$ , the spectroscopically confirmed SNe Ia are statistically consistent with  $q_0 < 0$  at the  $2.8\sigma$  and  $3.9\sigma$  confidence levels, and with  $\Omega_\Lambda > 0$  at the  $3.0\sigma$  and  $4.0\sigma$  confidence levels, for two different fitting methods, respectively. Fixing a “minimal” mass density,  $\Omega_M = 0.2$ , results in the weakest detection,  $\Omega_\Lambda > 0$  at the  $3.0\sigma$  confidence level from one of the two methods. For a flat universe prior ( $\Omega_M + \Omega_\Lambda = 1$ ), the spectroscopically confirmed SNe Ia require  $\Omega_\Lambda > 0$  at  $7\sigma$  and  $9\sigma$  formal statistical significance for the two different fitting methods. A universe closed by ordinary matter (i.e.,  $\Omega_M = 1$ ) is formally ruled out at the  $7\sigma$  to  $8\sigma$  confidence level for the two different fitting methods. We estimate the dynamical age of the universe to be  $14.2 \pm 1.7$  Gyr including systematic uncertainties in the current Cepheid distance scale. We estimate the likely effect of several sources of systematic error, including progenitor and metallicity evolution, extinction, sample selection bias, local perturbations in the expansion rate, gravitational lensing, and sample contamination. Presently, none of these effects appear to reconcile the data with  $\Omega_\Lambda = 0$  and  $q_0 \geq 0$ .

**Key words:** cosmology: observations — supernovae: general

# Energie noire – accélération de l'expansion

(Prix Nobel 2011, S. Perlmutter, B. Schmidt, A. Riess)

Forme de l'univers	Contenu de l'univers
$G_{\mu\nu} = 8 \pi T_{\mu\nu} - \Lambda g_{\mu\nu}$	
Energie noire	

Qu'est-ce que l'énergie noire:

- un phénomène, une force (?), qui s'oppose à la gravité dont les effets ont commencé à être perceptibles il y a environ 5 milliards d'années.
- Constante cosmologique (énergie du vide) ?
- Quintessence, variable dans le temps ?

Découverte de l'énergie noire

La recherche des supernovae de type I les plus distantes a permis de mesurer précisément l'expansion de l'univers et d'en déduire une accélération survenue il y a 7 milliards d'années.

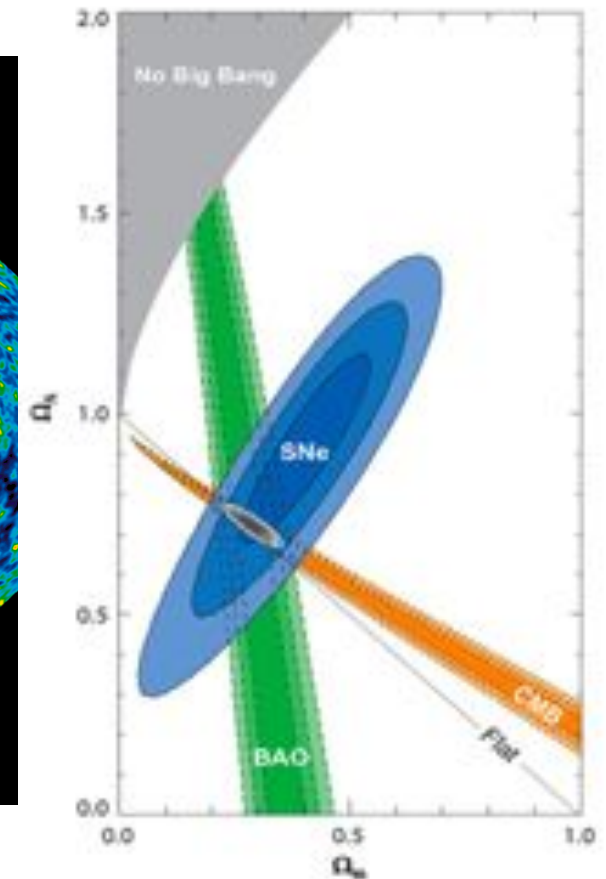
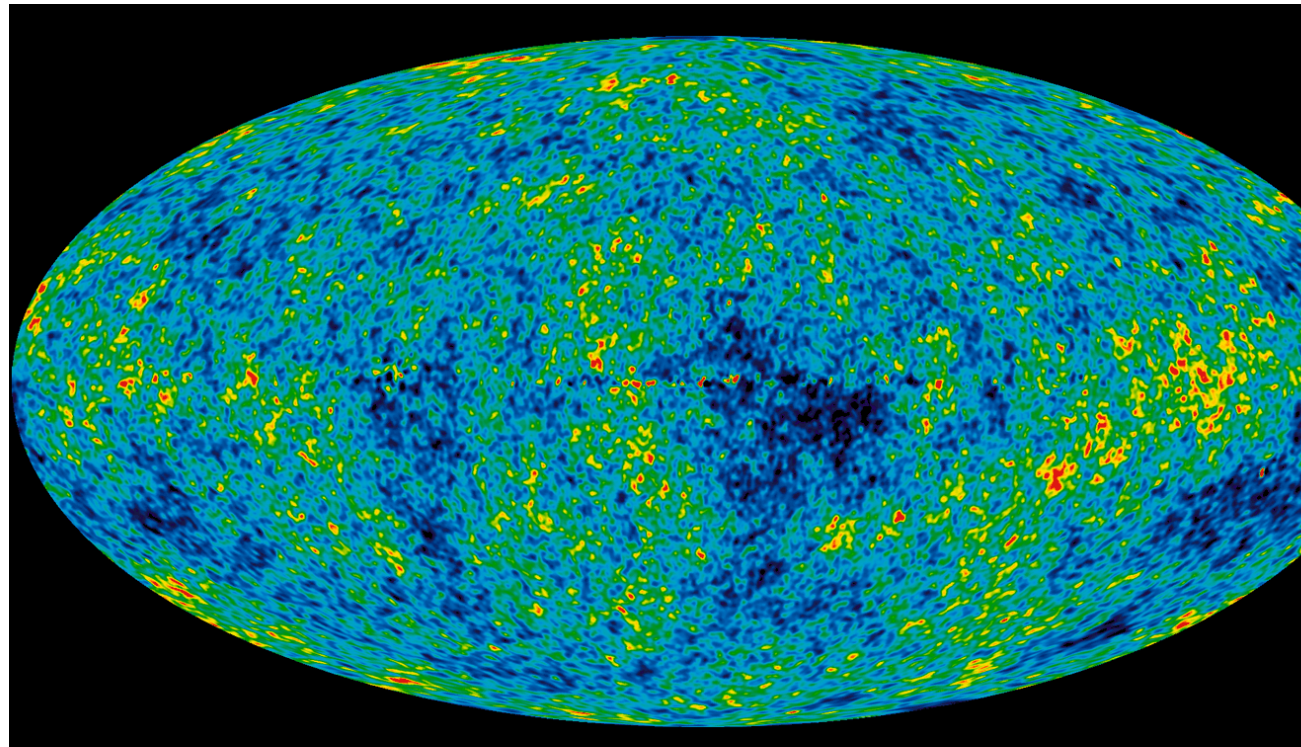
Théoriquement la gravité pourrait freiner l'expansion de l'univers.

Problème, en 1998, des supernovae furent observées à des distances supérieures aux prédictions, ce qui impliquait une accélération de l'univers.

[http://hubblesite.org/hubble\\_discoveries/dark\\_energy/](http://hubblesite.org/hubble_discoveries/dark_energy/) (en anglais)

<http://learner.org/courses/physics/unit/text.html?unit=11&secNum=0> (en anglais)

# Fond diffus cosmologique: information sur la géométrie et la matière de l'univers.

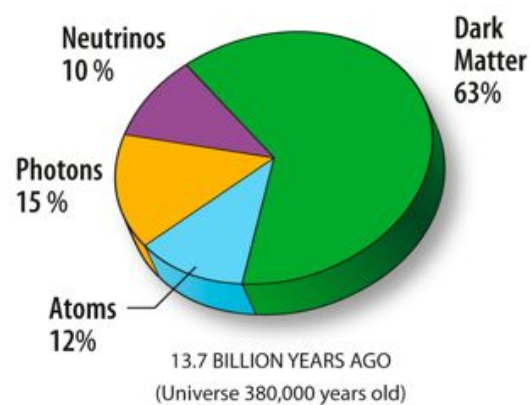
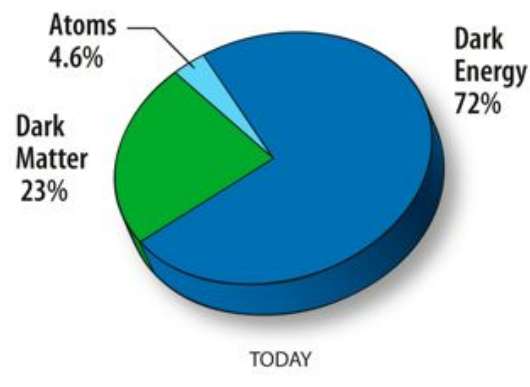


Taille angulaire des fluctuations de température  $\sim 1$  deg  $\rightarrow$  univers plat,  $\Omega = \Omega_m + \Omega_\Lambda = 1$

<http://map.gsfc.nasa.gov/media/101080/index.html>

# Forme et contenu de l'univers

$$G_{\mu\nu} = 8 \pi T_{\mu\nu} - \Lambda g_{\mu\nu}$$



# Euclid: mission « M » de l'Agence spatiale européenne.

Lancement prévu: 2019. Relevé de 15 000 deg<sup>2</sup> sur le ciel. Visible et infrarouge.

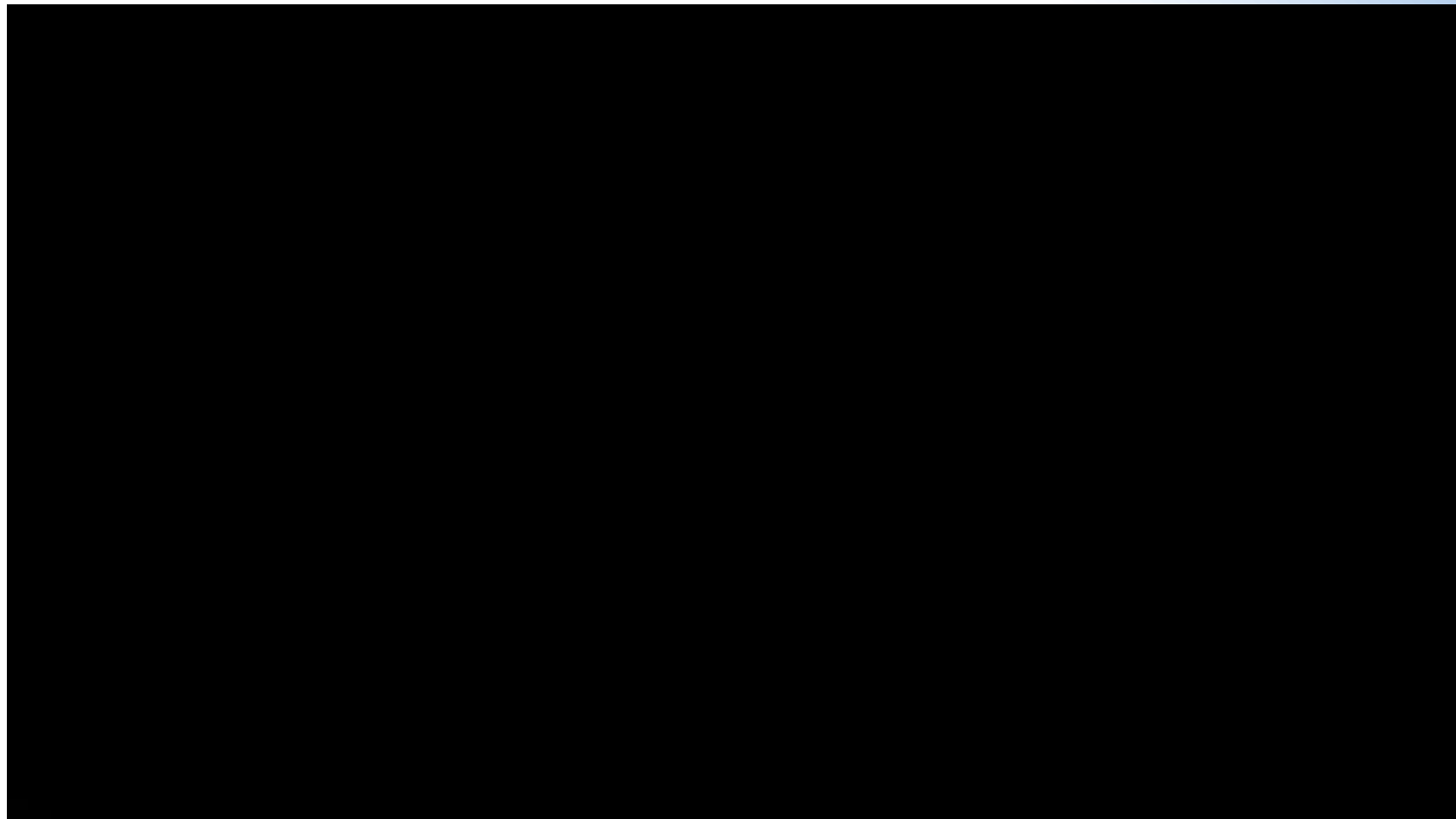


<http://sci.esa.int/euclid>

# Séance #4: les défis à venir et les futurs moyens d'observation

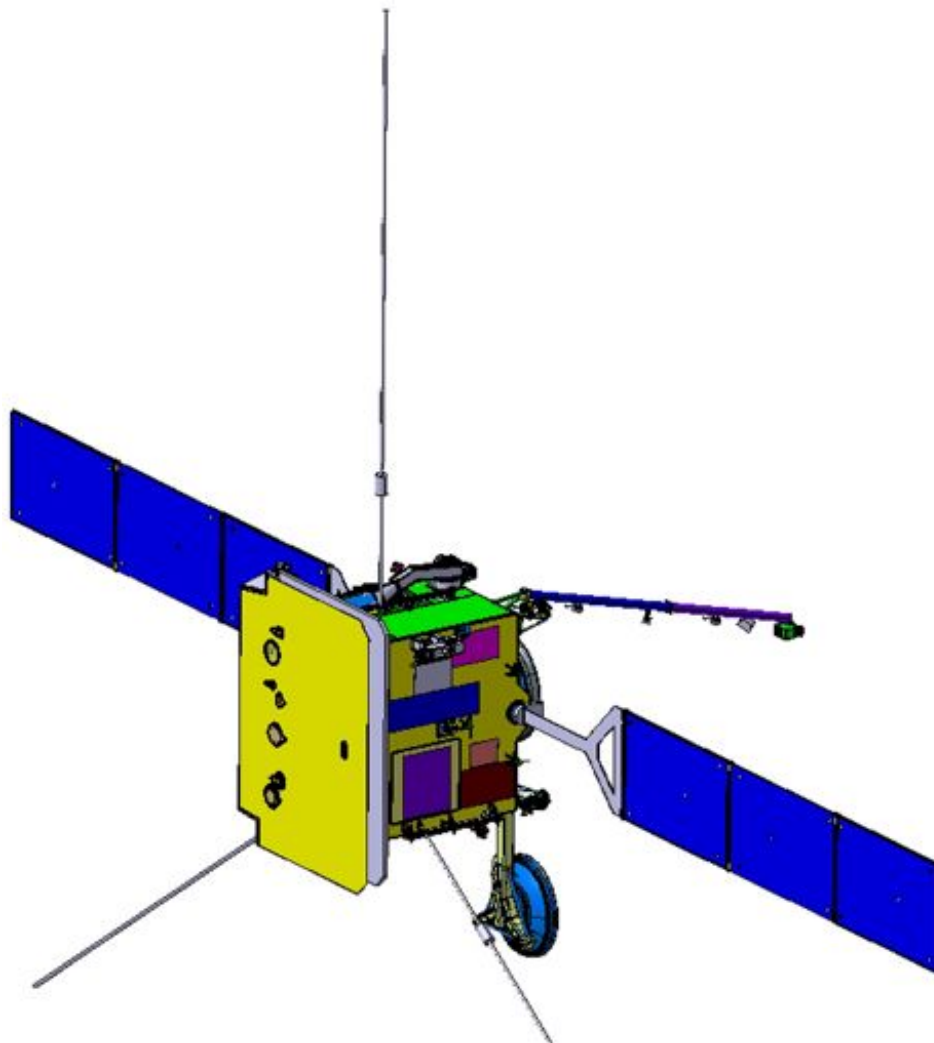
1. L'énergie noire, la matière sombre/noire et Euclid
2. Le Soleil et Solar Orbiter
3. Les futurs observatoires au sol
  - ALMA
  - ELT
  - SKA

# Le Soleil et Solar Orbiter



# Solar Orbiter: mission « M » de l'Agence spatiale européenne.

Lancement prévu: 2020 (?). 10 instruments: X, UV, visible, particules. 0.28 ua du Soleil.



## Objectifs scientifiques:

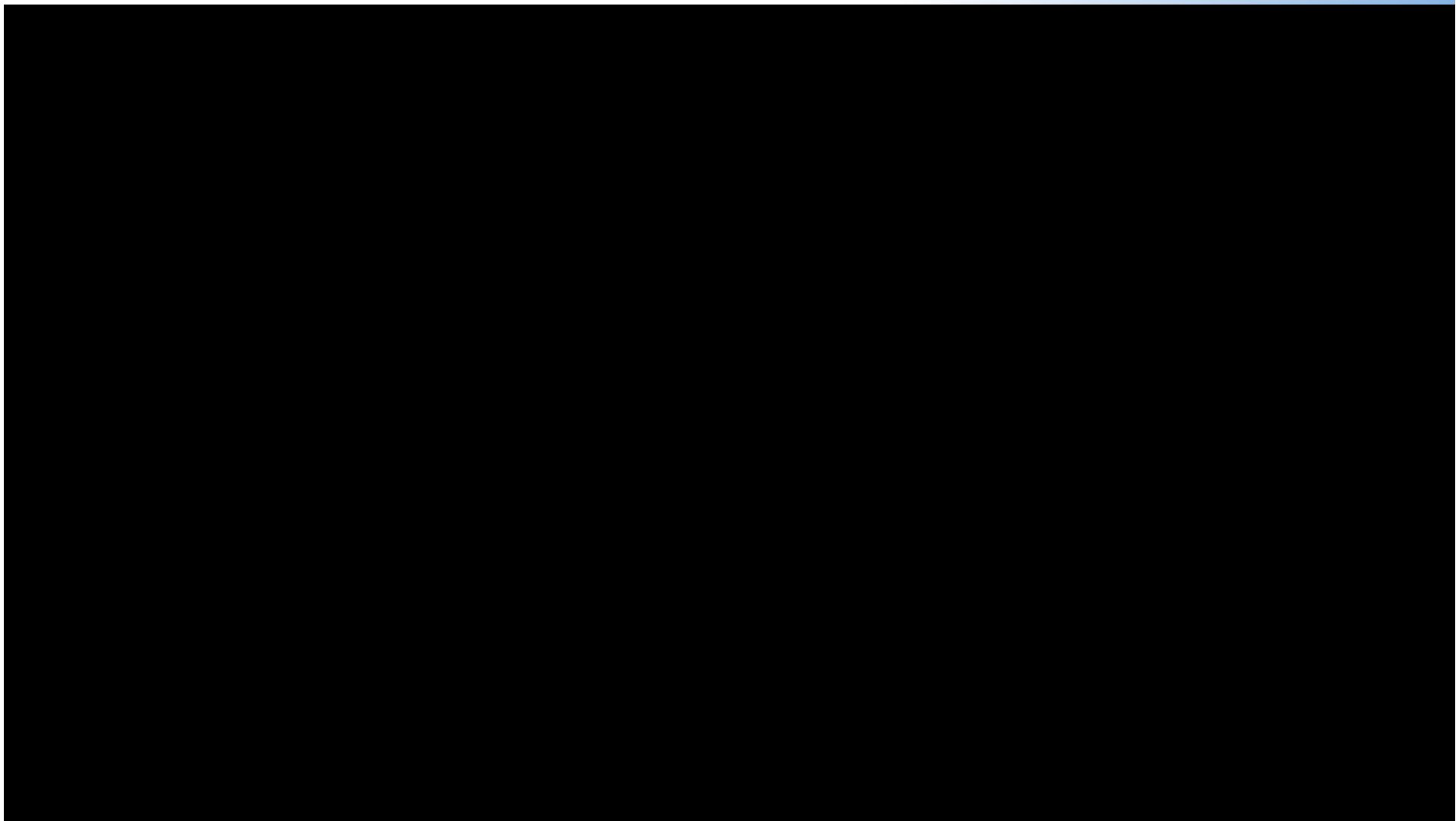
- déterminer les propriétés et la dynamique du plasma, du champ magnétique et des particules au niveau de l'héliosphère.
- cartographier les détails de l'atmosphère magnétique du Soleil.
- relier activité solaire en surface et l'évolution de la couronne et de l'héliosphère interne.
- prévision à long terme de l'activité solaire est-elle possible ?

# Séance #4: les défis à venir et les futurs moyens d'observation

1. L'énergie noire, la matière sombre/noire et Euclid
2. Le Soleil et Solar Orbiter
3. Les futurs observatoires au sol
  - ALMA
  - ELT
  - SKA

# ALMA

<http://www.eso.org/public/france/teles-instr/alma.html>



**ELT** <http://www.eso.org/public/france/teles-instr/e-elt.html>

# SKA – radio astronomie (70 MHz à 10 GHz)



The Square Kilometre Array

<http://www.skatelescope.org/>

# L'espace, c'est aussi

The screenshot shows a web page from the CNRS website, specifically the "Les mystères de l'Univers" section. The header features the CNRS logo and navigation links for "Le CNRS", "Annuaires", "Mots-Clefs CNRS", and "Autres sites". The main title is "Les mystères de l'Univers" with the subtitle "Centre national de la recherche scientifique".

The left sidebar contains a vertical menu with links: "Les mystères de l'Univers", "De la Terre...", "Notre système solaire", "... aux confins de l'Univers", "Pour aller plus loin", "Presse", "Partenaires", "Infos pratiques", "Rechercher", "Sur ce site", and "Sur le Web du CNRS".

The main content area displays a banner image of a galaxy. Below it, the breadcrumb navigation shows "Accueil du site > Les mystères de l'Univers > Les conférences". The main heading is "Astronomie et défense : des intérêts convergents". The date and time are listed as "Conférence du Dimanche 25 octobre 2009 17:00-18:00". A video player interface is shown below the date.

The speaker information is "Intervenant(s) : Bruno Destruelle, DGA". To the right, there is a thumbnail image of a satellite in space and a descriptive text about the convergence of astronomy and defense interests.

At the bottom of the page, there are social media sharing icons (Facebook, Twitter, LinkedIn, etc.) and a "RSS" link.

L'espace, c'est aussi



# L'espace, c'est aussi

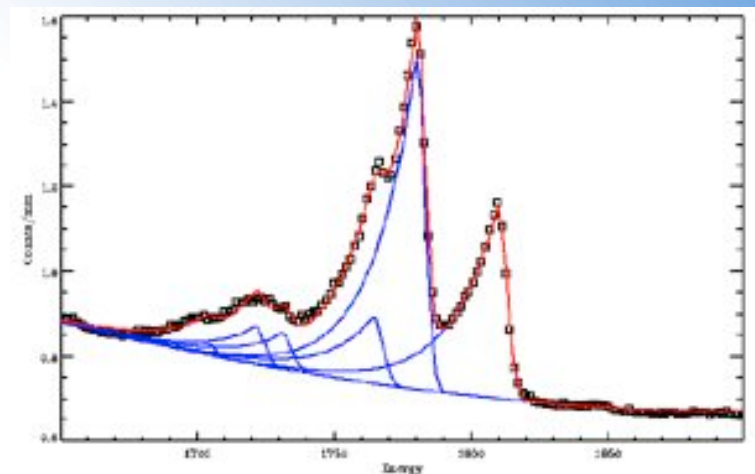
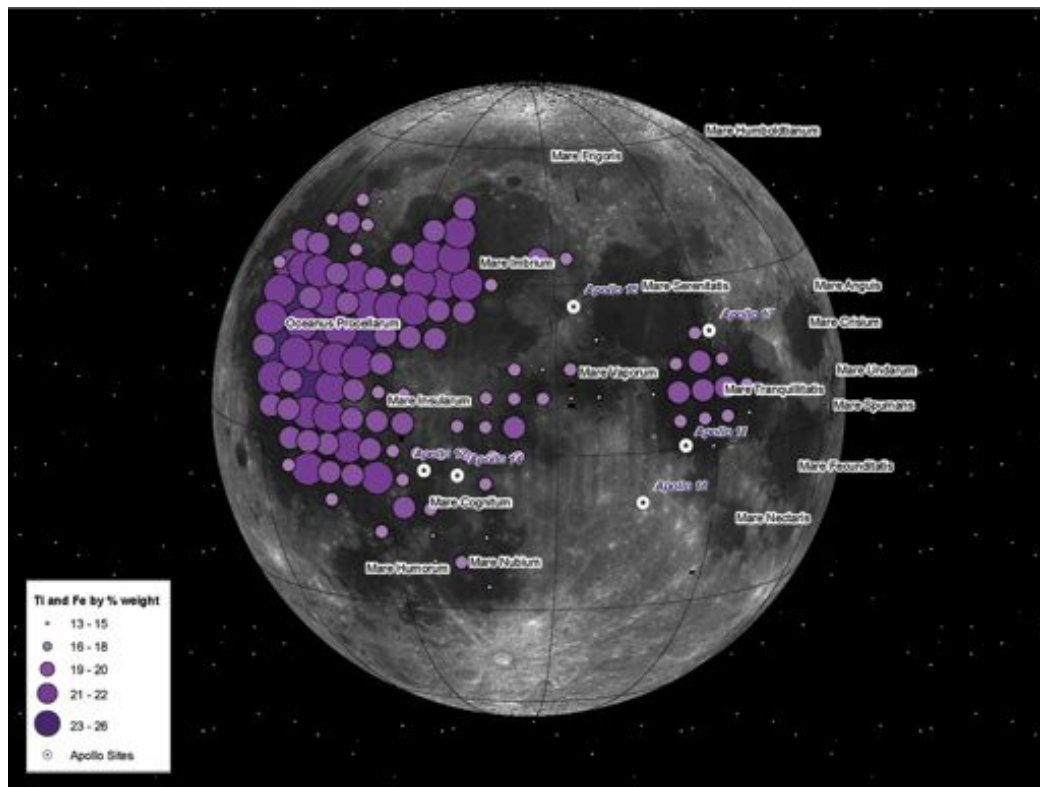
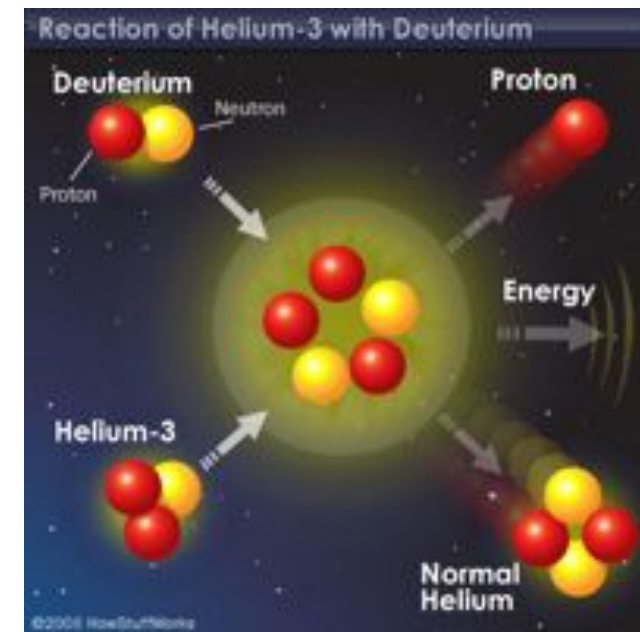


Fig. 2 Example of a peak fitting result of the  $^{238}\text{U}$  peak in an energy spectrum observed by the SELENE GRS. Black dots represent the actual observed count rate in each energy bin, the blue lines represent individual peak components, and the red line represents the total fitting result.



# Conclusions: l'exploration de l'univers, quels sens ?

## Entre quête scientifique et contraintes socio-techniques

- L'astrophysique est une discipline scientifique particulière, car elle est à l'interface de pratiques scientifiques, de défis technologiques et de questionnements universels sur l'humanité.
- Phase normale (cf. Kuhn) de vérification scientifique ? Nécessaire industrialisation des pratiques et des moyens d'observations ?
- Concentration des moyens sur des projets internationaux de grande ampleur et durée de plus en plus longue entre l'idée original et la première observation (10-30 ans). Quel impact sur la pratique scientifique ?
- Exploitation sensationnaliste du rêve spatial: catastrophisme (Soleil, astéroïde, fin du monde...), inexacititudes grossières (exoplanètes, Big Bang, ...).
- Faut-il aller sur la Lune, sur Mars, ou plus loin ? A quel prix pour la science ?
- L'espace est-elle une frontière pour l'éthique ? (surveillance, débris, exploitation minière, tourisme galactique, ...)

